

and  $\text{^A}\gamma$ -globin gene promoter regions of 4 previously identified mutants were amplified by nested PCR, then the mutations were detected by CCM, and the optimal condition was determined. It was proved that CCM is a simple and reliable molecular diagnostic

method for the detection of  $\text{nd}$  HPFH point mutations.

**Key words** chemical cleavage of mismatch, point mutation detection,  $\gamma$ -globin gene, hereditary persistence of fetal hemoglobin

## 细胞氧化损伤时 $\delta$ -羟基鸟嘌呤的测定\*

张海涛 祝其锋

(广东医学院医用生化研究所, 湛江 524023)

莫丽儿 庄海旗

(广东医学院化学教研室, 湛江 524023)

蔡春

(广东医学院中心实验室, 湛江 524023)

**摘要** 利用  $\text{H}_2\text{O}_2$  易通过细胞膜而到达核这一特点, 初步探讨了不同浓度  $\text{H}_2\text{O}_2$  对 HL-60 细胞 DNA 的氧化损伤程度。发现  $\text{H}_2\text{O}_2$  浓度在 0.4 mmol/L 以上时, 作用 8~24 h 可以用气相色谱/火焰离子检测器 (GC/FID) 检测到氧化损伤标志产物—— $\delta$ -羟基鸟嘌呤 ( $\delta$ -oh-G)。并观测到在 0.4~0.8 mmol/L  $\text{H}_2\text{O}_2$  作用一定时间时,  $\delta$ -羟基鸟嘌呤含量随  $\text{H}_2\text{O}_2$  浓度升高而升高。

**关键词** HL-60 细胞,  $\delta$ -羟基鸟嘌呤,  $\text{H}_2\text{O}_2$ , 气相色谱/火焰离子检测器

**学科分类号** Q27

许多资料显示自由基和许多人类的疾病有着密切关系。自由基影响着细胞的代谢过程, 在衰老、肿瘤的发生、心血管疾病等中起着重要作用<sup>[1]</sup>。自由基的生成可以是内源性的, 如氧化酶系统的反应; 也可以是外源的, 如具氧化还原作用的药物、电离辐射过程等。无论是内源性的, 还是外源性的自由基产生过程, 都能造成 DNA 的氧化损伤。因而自由基是造成突变的一个重要因素, 它在癌变过程中起着促进作用<sup>[2,3]</sup>。在体内许多自由基毒性是由于  $\text{O}_2^-$ 、 $\text{H}_2\text{O}_2$  和过渡金属离子产生的高活性·OH 造成的<sup>[1]</sup>。 $\text{H}_2\text{O}_2$  作为小分子物质, 极易通过细胞膜到达核内, 和核酸某些特异位点的金属离子反应产生高活性的·OH, 造成 DNA 的氧化损伤: DNA 链的断裂和交联<sup>[4,5]</sup>, DNA 碱基的修饰<sup>[6,7]</sup>。其中  $\delta$ -羟基鸟嘌呤是重要的 DNA 氧化损伤产物之一, 利用 GC/FID 的高效分离能力, 可检测到一定量的  $\delta$ -羟基鸟嘌呤。

## 1 材料与仪器

### 1.1 试剂

双(三甲基硅烷基)三氟乙酰胺 (BSTFA)、乙腈为 Fluka 公司产品; 菲为 BDH 产品; 蛋白酶 K、RNA 酶 A、甲酸为 Sigma 公司产品; RPMI

1640 完全培养基为 LIFE TECHN. 公司产品; 小牛血清为杭州四季青公司; 过氧化氢、苯酚、氯仿均为国产分析纯试剂。

### 1.2 仪器

衍生瓶: 本课题组设计, 中国科学院上海有机化学研究所加工, 进口隔垫封口; 美国 Varian SP-3400 型气相色谱仪,  $3 \text{ m} \times 0.25 \text{ mm} \times 0.3 \mu\text{m}$  交联 SE-54 覆盖开管熔融石英毛细管柱, 载气为高纯氮气, FID 检测器, 台式自动平衡记录仪; 日本岛津 GC-17A/QP-5000 型气质联用仪, 美国 J&W 公司 DB-5 毛细管柱 ( $25\text{m} \times 0.32 \text{ mm} \times 0.3 \mu\text{m}$ ), 载气为高纯氦气, 电离方式为 EI, NIST 谱库; LGJ 型真空冷冻干燥机; 电热式真空恒温干燥箱, PE Lambda 2S 型紫外/可见光谱仪。

## 2 实验方法

### 2.1 细胞培养

HL-60 细胞株 (军事医学科学院赠); 用含 10% 小牛血清 RPMI 1640 完全培养基将生长状况良好的细胞调整至  $5.0 \times 10^5/\text{ml}$ , 培养液体积为 40 ml。分别按下列处理: A 组加入过氧化氢溶液,

\* 广东省重点学科资助课题, 粤高教科 [1997] 14 号。

收稿日期: 1998-02-24, 修回日期: 1998-07-06

使之终浓度为 0.4 mmol/L, 37℃, 5% CO<sub>2</sub> 培养 2、4、8、24h; B 组加入过氧化氢溶液, 使之终浓度分别为 0.2、0.4、0.6、0.8 mmol/L, 37℃, 5% CO<sub>2</sub> 培养 8 h. 1000 g 离心 5 min, 收集细胞, 用 pH 7.2, 0.01 mol/L PBS 洗 2 次.

## 2.2 DNA 的提取和鉴定

将搜集的细胞加入 100 mg/L 的蛋白酶 K 溶液 2 ml, 37℃水浴 24 h, 加入等体积的苯酚, 轻摇 10 min, 5000 g 离心 5 min, 将水层取出, 重复一次. 加入等体积的氯仿/异戊醇溶液 (24/1), 轻摇 10 min, 5000 g 离心 5 min, 将水层取出, 4℃透析, 直到透析液于 270 nm 处吸光值小于 0.05, 加核糖核酸酶 A 溶液, 使之浓度为 50 mg/L, 37℃水浴 12 h, 加入 100 mg/L 的蛋白酶 K 溶液 1 ml, 重复氯仿-苯酚法纯化 DNA. 将提取的 DNA 稀释 10 倍, 200~400 nm 波长扫描, 定性, 定量<sup>[8]</sup>.

## 2.3 DNA 水解, 衍生

取上述 DNA 溶液 300 μl, 加到衍生瓶内, 真空干燥 5 h. 加 98% 甲酸 300 μl, 150℃水解 1 h. 真空干燥 8 h. 加 BSTFA 150 μl, 150℃衍生 1 h. 自然冷却, 过夜.

## 2.4 气相色谱检测

色谱条件: 氮气线性流速 30 ml/min, 氢气线性流速 30 ml/min, 空气线性流速 300 ml/min, 进样量 0.8 μl, 分流比 15:1, 一阶升温程序 120℃(1 min) → 15℃/min 升温 → 260℃(9 min), 进样口温度为 300℃, FID 温度 310℃, 衰减 8, 量程 11.

## 2.5 气质联用仪鉴定

升温程序: 同气相色谱检测, 进样量 0.1~0.2 μl, 分流比 10:1, 质谱轰击电压: 70 eV, 质量扫描范围 30~600 amu<sup>[9]</sup>.

## 3 结 果

### 3.1 GC/FID 检测结果与 CGC/MS SIM 鉴定

图 1 为气相色谱图谱, 箭头所指为 8-羟基鸟嘌呤峰 (图 1a), 保留时间为 15.80 min, 图 1b 示 15.00 min 后已无可见峰出现.

图 2 为气相色谱/质谱仪-选择性离子探测器 (CGC/MS-SIM) 图: 图 2a 为总离子图, 箭头所指为 8-羟基鸟嘌呤处. 图 2b 为 SIM 的结果, 表明有 440, 455 (m/z) 出现, 证明有 8-羟基鸟嘌呤存在. 图 2c 则为质谱图, 73 (m/z) 为硅烷基的特征峰, 440, 455 (m/z) 为 8-羟基鸟嘌呤经 70 eV 轰击后产生的特征碎片.

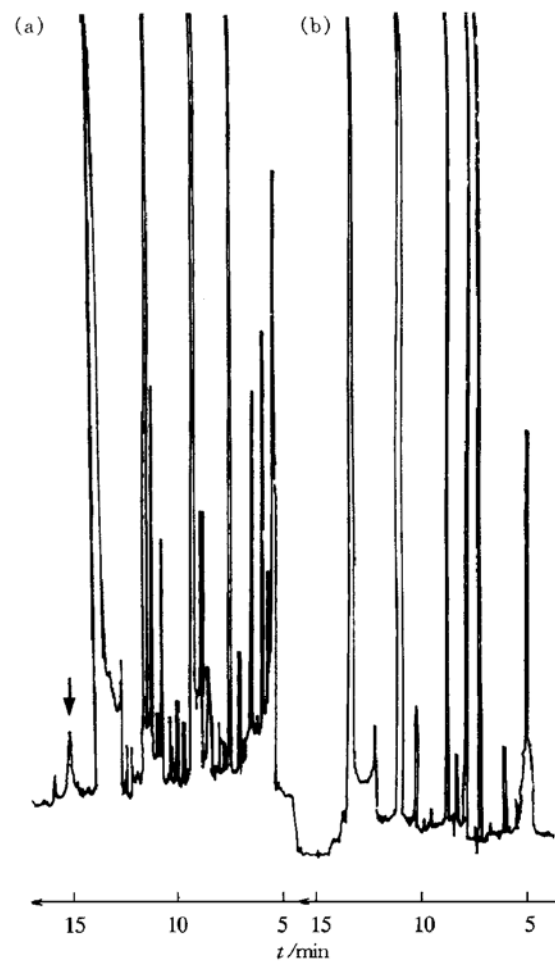


图 1 GC/FID 检测图

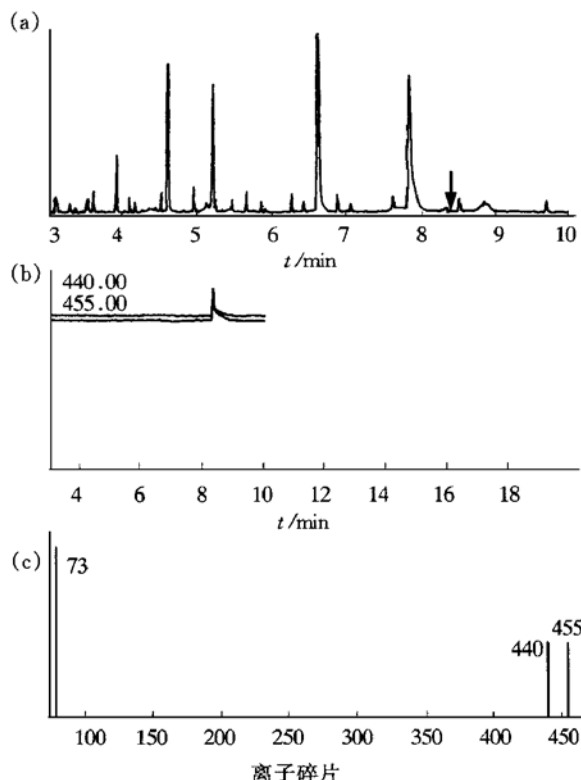


图 2 CGC/MS SIM 鉴定图

### 3.2 作用时间对 8-羟基鸟嘌呤水平的影响

$H_2O_2$  作用不同时间的结果表明, 细胞经 0.4 mmol/L  $H_2O_2$  持续 8 h 的作用就可检测到 DNA 中有 8-羟基鸟嘌呤。此时镜观细胞时, 可见有较多的细胞死亡。 $H_2O_2$  作用 24 h 时, 细胞完全死亡, 8-羟基鸟嘌呤含量是作用 8 h 的 3 倍有余(图 3)。显然  $H_2O_2$  持续作用的时间长短影响 8-羟基鸟嘌呤的产量。相反,  $H_2O_2$  作用 4 h, GC/FID 检测不到 8-羟基鸟嘌呤, 用 CGC/MS-SIM 也证实无典型的 440, 455 ( $m/z$ ) 峰出现。说明该条件下测不到 8-羟基鸟嘌呤。镜观细胞状态, 仅有少数组细胞出现死亡。

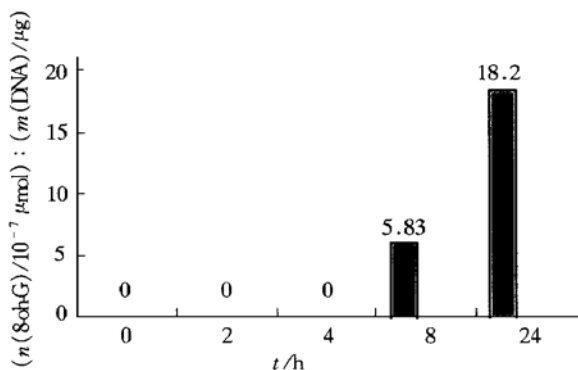


图 3 不同时间处理 8-羟基鸟嘌呤含量变化图

### 3.3 不同浓度 $H_2O_2$ 作用时 8-羟基鸟嘌呤含量变化

用不同浓度的  $H_2O_2$  处理细胞的结果显示, 在  $H_2O_2$  浓度达到 0.4 mmol/L 以上时用 GC/FID 可以检测到 8-羟基鸟嘌呤(图 4), 而在低于 0.4 mmol/L 时, 检测不到 8-羟基鸟嘌呤。镜下观察细胞状态时发现, 当低于 0.2 mmol/L 的  $H_2O_2$  作用后, 对细胞影响不大, 仅出现少数死亡细胞, 而在 0.4 mmol/L 以上的  $H_2O_2$  作用细胞时可发现有大量的细胞死亡。

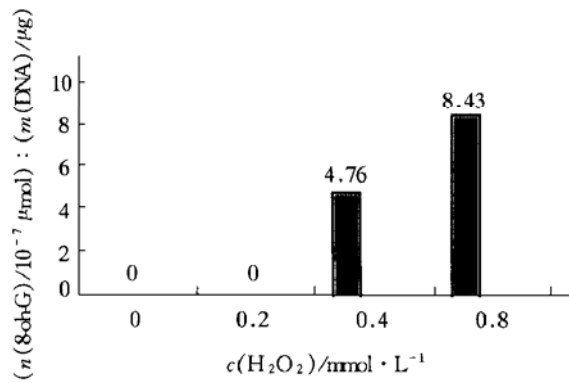


图 4 不同浓度过氧化氢对 8-羟基鸟嘌呤含量的影响图

## 4 讨 论

$H_2O_2$  作用于细胞时,  $H_2O_2$  因其分子质量小, 可以穿越细胞膜到达核内, 与过渡金属离子发生 Fenton 类型反应, 产生高活性的羟自由基, 这些高活性的羟自由基不仅造成 DNA 的断裂, 而且可氧化修饰正常的碱基, 生成各种修饰碱基。这些所涉及的过渡金属离子也许结合在染色质的某些部位, 也许是因氧化应激造成这些金属离子从存储部位释放<sup>[10]</sup>。有研究表明, 在体内  $H_2O_2$  产生的羟自由基的反应中, 金属离子起着重要作用。目前研究认为单独的  $H_2O_2$  不能造成 DNA 的修饰碱基的产生<sup>[11]</sup>。

DNA 氧化损伤产物现已发现 20 种之多, 其中 8-羟基鸟嘌呤是一种重要的、具有生物学意义的氧化修饰碱基, 它是鸟嘌呤 8 位碳原子被氧化而形成的, 该碱基的化学性质比较稳定, 目前被认为是一种反映 DNA 氧化损伤的较灵敏与稳定的指标<sup>[12, 13]</sup>。体内与体外实验也证明该碱基和突变、肿瘤的发生有着一定的联系。利用 GC/FID 可以有效地将 8-羟基鸟嘌呤和其他成分分离, 并可以对其进行定量, 不失为研究 DNA 氧化损伤的灵敏可靠的检测方法。

## 参 考 文 献

- 1 Halliwell B, Cutteridge J M C. The importance of free radicals and catalytic metal ion in human disease. Mol Aspects Med, 1985, 8 (1): 89~ 193
- 2 Brawn M K, Fridovich I. Increased superoxide radical production evokes inducible DNA repair in *Escherichia coli*. J Biol Chem, 1985, 260 (2): 922~ 925
- 3 Cerutti P A. Prooxidant states and tumor promotion. Science 1985, 227 (4685): 375~ 381
- 4 Sagripanti J L, Kraemer K H. Site-specific oxidative DNA damage at polyguanosines produced by copper plus hydrogen peroxide. J Biol Chem, 1989, 264 (3): 1729~ 1734
- 5 Yamamoto K, Kawanishi S. Hydroxyl free radical is not the main active species in site-specific DNA damage induced by copper (II) ion and hydrogen peroxide. J Biol Chem, 1989, 264 (26): 15435~ 15440
- 6 Dizdaroglu M, Rao G, Halliwell B, et al. Damage to the DNA bases in mammalian chromatin by hydrogen peroxide in the presence of ferric and cupric ions. Arch Biochem Biophys, 1991, 285 (2): 317~ 324
- 7 Dizdaroglu M, Nackerdien Z, Chao B C, et al. Chemical nature of *in vivo* DNA base damage in hydrogen peroxide-treated mammalian cells. Arch Biochem Biophys, 1991, 285 (2): 388~ 390
- 8 蔡良琬主编. 核酸研究技术. 北京: 科学出版社 (Cai L W. Nucleic Acids Research Technology. Beijing: Sciences Press), 1987. 3~ 5
- 9 Dizdaroglu M, Halliwell B, et al. Application of Capillary Gas Chromatography-Mass Spectrometry to Chemical Characterization

- of Radiation Induced Base Damage of DNA: Implication DNA Repair Processes. *Anal Biochem*, 1985, **144** (2): 593~ 603
- 10 Halliwall B. Oxidants and human disease: some new concepts. *FASEB J*, 1987, **1**: 358~ 364
- 11 Gajewski E, Rao G, Nackerdien Z, et al. Modification of DNA bases in mammalian chromatin by radiation generated free radicals. *Biochemistry*, 1990, **29**: 7876~ 7882
- 12 Guyton K Z, Kensler T W. Oxidative mechanisms in carcinogenesis. *Br Med Bull*, 1993, **49** (3): 523~ 544
- 13 Floy R A. The role of 8-hydroxyguanine in carcinogenesis. *Carcinogenesis*, 1990, **11** (9): 1447~ 1550

**Detection of 8-hydroxyguanine in Hydrogen Peroxide damaged HL-60 Cells DNA.** ZHANG Hai-Tao, ZHU Qi-Feng (Institute of Medical Biochemistry, Guangdong Medical College, Zhanjiang 524023, China); MO Li-Er, ZHUANG Hai-Qi (Department of Chemistry, Guangdong Medical College, Zhanjiang 524023, China); Cai Chun (The Central Laboratory, Guangdong Medical College, Zhanjiang 524023, China).

**Abstract** Although hydrogen peroxide is generated in cells by normal metabolism, the reaction of the stress or by treatment of the cells with 0.4 mmol/L of hydrogen peroxide for 8~ 24 hours can result in DNA damage. 8-hydroxyguanine is a typical hydroxyl radical induced products in DNA. The yields of the 8-hydroxyguanine in DNA isolated from H<sub>2</sub>O<sub>2</sub>-treated HL-60 cells in different ways were reported. The 8-hydroxyguanine in the cells treated in more than 0.4 mmol/L H<sub>2</sub>O<sub>2</sub> for eight hours. In order to identify the 8-hydroxyguanine, the result was confirmed by CGC/MS-SIM. The results suggested that the nuclear DNA damage in cells caused by H<sub>2</sub>O<sub>2</sub> may be involved in formation of hydroxyl radicals.

**Key words** human promyelocytic leukemia, 8-hydroxyguanine, H<sub>2</sub>O<sub>2</sub>, gas chromatography/flame ion detector

## 内皮型氧化氮合酶 FAD 间区在大肠杆菌中的表达\*

赵建华

(江苏省肿瘤防治研究所, 江苏省临床检验中心, 南京 210009)

沈月 朱敏生<sup>1)</sup> 许祥裕 潘英

(南京军事医学研究所防护室, 南京 210002)

**摘要** 为了研究内皮型氧化氮合酶 (eNOS) 的功能、功能调节以及结构与功能的关系。通过 PCR 技术克隆出 eNOSFAD 间区 801~ 902AA 肽段的编码基因, 插入 pET-28a (+) 表达质粒中构建成 pET-28a/eNOS<sub>2</sub> 重组表达质粒, 经转染在大肠杆菌中成功表达。表达蛋白经金属离子螯合亲和层析和 SDS-PAGE 回收纯化, 得蛋白质纯品。为 eNOS 特异性抑制肽的筛选和 eNOS 特异性抗体的制备提供了必要的准备。

**关键词** eNOS, 重组表达, 大肠杆菌

**学科分类号** Q55, Q78

一氧化氮 (NO) 具有第二信使物质、神经递质和细胞毒性等多重功能, 广泛参与机体生理、病理生理功能的调节。其化学性质极不稳定、半衰期短, 功能的发挥主要依赖于氧化氮合酶 (NOS) 的生物合成。目前, 已被纯化或克隆的 NOS 大致分为三种类型: 脑型 (nNOS)、内皮型 (eNOS) 和诱生型 (iNOS)。它们均以 L-Arg 为底物, 在 FAD、FMN、NADPH 和 BH<sub>4</sub> 等辅助因子协同下, 催化合成 NO; 同时, 它们的活性也可受 L-Arg 衍生物的抑制<sup>[1]</sup>。

eNOS 属原生酶, 主要分布在内皮细胞<sup>[2]</sup>; 与其他 NOS 同源性比较发现: eNOS 存在两个同源

性较低的区域即 N 端 1~ 134AA 区 (简称 e<sub>1</sub>) 和 801~ 902AA 区 (简称 e<sub>2</sub>)。e<sub>2</sub> 正好处于 FAD-P 与 FAD-I 之间, 很可能与 FAD 电子传递功能密切相关; 同时 e<sub>2</sub> 又是 eNOS 第二种读框结构中唯一低同源性区域, 非常独特。为此, 我们选择性对 e<sub>2</sub> 进行了表达。表达蛋白一方面可作为目标蛋白, 通过噬菌体展示随机肽库筛选该区的结合肽, 若该肽的结合可阻断 FAD 电子传递, 即得到 eNOS 特异

\* 国家自然科学基金资助项目 (39670856) 和 95 全军医药卫生科研基金。

<sup>1)</sup> 通讯联系人。

收稿日期: 1999-01-18, 修回日期: 1999-03-06